

О ДАЙКОВОМ КОМПЛЕКСЕ КОММУНАРОВСКОГО
РУДНОГО ПОЛЯ (ХАКАСИЯ)

А. Ф. КОРОБЕЙНИКОВ, Л. Г. ОСИПОВ, И. Г. ЧИНАКОВ

(Представлена профессором А. М. Кузьминым)

До последнего времени достаточно полного изучения дайковых образований Коммунаровского района не проводилось, хотя и отмечалась пространственная приуроченность некоторых золоторудных проявлений к узлам сопряжения крупных разрывов с дайками [14]. Поэтому авторами на основании материалов, полученных при детальном геолого-структурном картировании рудного поля, сделана попытка обобщить накопленные по этому вопросу данные.

Общая геологическая позиция района определяется его положением на восточном склоне Кузнецкого Алатау, в пределах Июсско-Сыйской структурно-фациальной зоны, характеризующейся большой мощностью (16-18 км) верхнепротерозойских, нижне- и среднекембрийских отложений геосинклинального типа [2, 12]. Эти образования собраны в крупные складки субмеридионального и с.-в. простирания, осложненные складками второго, третьего и более высоких порядков. Главной пликативной структурой района является Коммунаровская антиклиналь, которая к ВСВ сменяется сыйско-ефремовской синклиналью [12]. Рудное поле располагается на восточном крыле названной антиклинали, вблизи ее осевой линии, и слагается породами диабазово-порфиритовой и вулканогенно-осадочной толщ нижнепалеозойского [14] или возможно даже докембрийского [6] возраста. Породы обеих толщ прорваны небольшими субпослойными телами уралитизированных габбро-диоритов, крупным Солгонским гранодиоритовым массивом (интрузия кварцевых монzonитов по А. Я. Булынникову) и мелкими штоко- и дайкообразными телами оливиновых габбро и габбро-порфириотов, генетически связанных скорее всего с девонской габбро-сиенитовой интрузией.

Гранодиоритовый массив сложен породами трех интрузивных фаз: ранней — авгитовые и авгит-гиперстеновые диориты, средней — гранодиориты, кварцевые диориты и монzonиты и поздней — мелкозернистые граниты и сиениты. По минералого-петрографическому составу и петрохимическим признакам (рис. 1, 2) образования Солгонского plutона хорошо сопоставляются с породами улень-туимского гранитоидного комплекса верхнекембрийско-нижнеордовикского возраста [5, 13] и относятся к группе гранитоидных формаций пестрого состава [9]. Для гранодиоритов Солгонского массива калий-argonовым методом определен абсолютный возраст в 476 млн. лет, что позволяет считать возраст гранодиоритовой интрузии салаирским.

Жильная серия интрузивных пород представлена многочисленными дайками от кислого до основного состава. Дайки располагаются преимущественно в пределах широкого приконтактового ореола Солгонского интрузива. На основании взаимопересечений дайковых тел [8] среди них могут быть выделены три возрастные группы. Первая

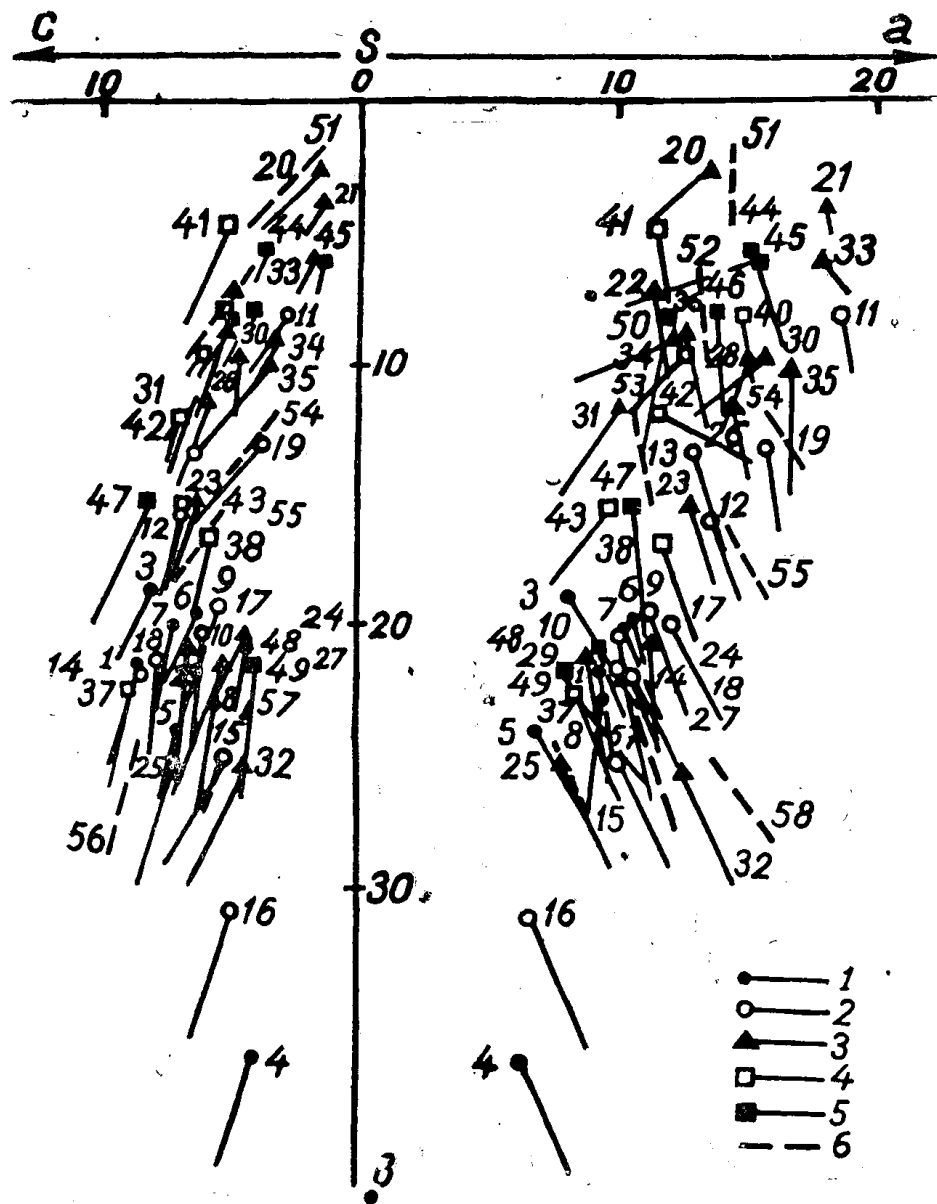


Рис. 1. Петрохимическая диаграмма пород буйского габбро-диоритового (незалитые кружки) и гранодиоритового (залитые кружки) интрузивных комплексов Коммунара (по методу А. Н. Заварницкого [4]). 1 — порфириевые и мелкозернистые уралитизированные диориты и габбро-диориты буйского комплекса; 2 — диориты и гранодиориты Солгонского массива; 3 — жильная серия интрузивных пород Коммунара; 4 — породы мартайтинского гранитоидного комплекса; 5 — породы улень-туимского гранитоидного комплекса; 6 — типичные породы по Р. Дели

группа — единичные дайки диоритовых порфиритов и мелкозернистых диоритов-I, рвущиеся гранодиоритами. Становление этих даек связано, по-видимому, с авгитовыми диоритами ранней фазы внедрения

гранодиоритового комплекса. Вторая группа, генетически связанная с гранодиоритовой интрузией, включает основное количество всех дайковых тел рудного поля и подразделяется на две возрастные подгруппы (в порядке их внедрения): а) диоритовые и лабрадоровые порфиры-II, монцониты, мелкозернистые диориты-II, микродиориты, спессартиты, керсантиты, вогезиты, одиниты, сиенит-порфиры, кварцевые порфиры, б) пегматиты и аплиты. Многие дайки прорывают поро-

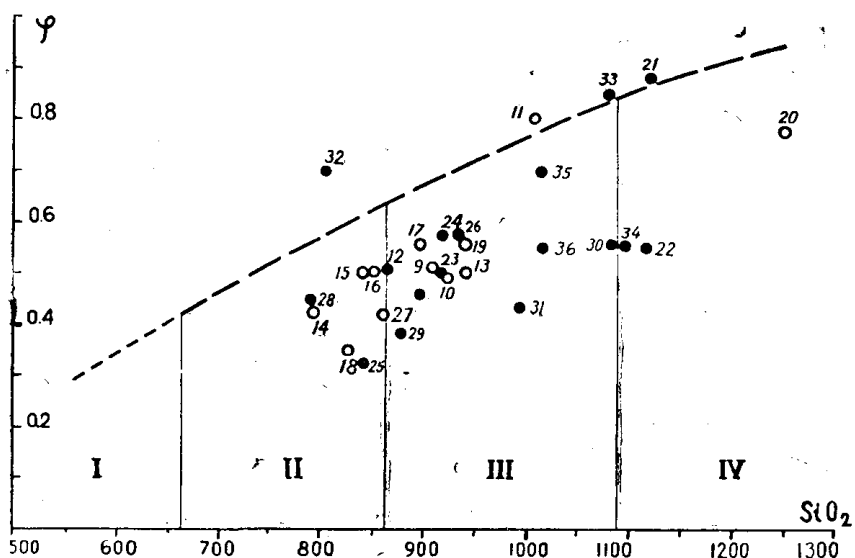


Рис. 2. Диаграмма щелочного модуля (φ) изверженных гранитоидных пород Коммунаровского рудного поля (незалитые кружки — породы Солгонского интрузива; залитые кружки — дайковые породы). I — ультраосновные, II — основные, III — средние, IV — кислые группы пород по И. В. Лутицкому [10]. Химические анализы пород приведены в табл. 2

ды Солгонского массива или содержат ксенолиты гранодиоритового и тоналитового состава. Устанавливается приуроченность дайковых и гидротермальных образований к одним и тем же системам тектонических трещин, что, вероятно, указывает на общность структурного плана деформаций в период дайкообразования и последующего золотооруденения, а также на унаследованность возникающих трещинных структур [7]. Последнее привело к возникновению сложно построенных дайковых тел различного петрографического состава: диоритовые порфиры и мелкозернистые диориты. При этом каждая последующая порция магматического расплава обычно внедрялась посередине ранее сформированного дайкового тела и образовывала сложную дайку с четкими контактами, зонами закалки, следами течения и экзоконтактовыми изменениями. Дайки первой и второй групп являются дорудными. Третья группа — дайки оливиновых габбро-порфириров и субщелочных диабазовых порфириров, связанные, по-видимому, с более молодой габбро-сиенитовой девонской (?) интрузией. Они слагают иногда довольно мощные (5—12 м) тела протяженностью до первых сотен метров и секут диориты Солгонского массива. Очевидно, формирование этих даек следовало после золотооруденения, поскольку они не изменены и лишены кварцево-рудной минерализации, хотя и размещаются в зонах интенсивного гидротермального метаморфизма и орудене-

ния Солгонского участка, а дайки субщелочных диабазовых порфиритов рассекают кварцевые прожилки [8].

Диоритовые порфиры-I — порфировидные породы массивного сложения, сложенные редкими и крупными (8—9 мм) призматическими выделениями плагиоклаза № 46—49 и пироксена и мелко-зернистой плагиоклаз-пироксеновой основной массой. Плагиоклаз порфировых выделений (до 10% от общего объема породы) часто деформирован, с искривленными и раздробленными двойниковыми полосками и следами скольжения вдоль двойниковых швов. Пироксен-авгит (до 3—5%) бесцветен или бледно-буроватый, нередко сдвойникован и деформирован. Основная масса состоит из идиоморфных мелких (до 0,05 мм) зерен авгита (до 30%), андезина № 42—43 (до 60%) и ксеноморфного кварца. Аксессорные — апатит и магнетит. Из вторичных минералов распространены tremolit-актинолит, обрастающий бесцветной или слабо зеленоватой каймой авгит и замещающий иногда его нацело. Амфиболизация пироксенов сопровождается выделением мелкой сыпи магнетита. Пироксен и амфиболы замещаются биотитом, а по биотиту в свою очередь развивается хлорит и эпидот. По плагиоклазам развивается серицит, карбонаты и цоизит. Оптические свойства минералов всех дайковых пород сведены в табл. 1.

Мелкозернистые диориты-I — темно-серые плотные породы, нередко ороговиковые и состоящие из плагиоклаза № 31—32 (до 60%), зеленой роговой обманки с размером зерен 0,2—0,3 мм (до 30%), биотита и редкого ортоклаза. В шлифах устанавливается диоритовая структура, характеризующаяся одинаковым идиоморфизмом плагиоклаза и роговой обманки. Аксессорные — апатит и магнетит. Вторичные минералы представлены серицитом, тонкоигольчатым актинолитом, пенином и эпидотом. Ороговиковые разности приобретают микрогранобластовую структуру и сложены субизометричными зернами плагиоклаза № 30—32, моноклинного пироксена (вместо уралитовой роговой обманки) и зеленой роговой обманки. Иногда даже в одном шлифе наблюдаются постепенные переходы от диоритовой к роговиковой структуре.

Диоритовые порфиры-II представлены пироксеновыми и роговообманковыми разновидностями, имеющими взаимнoperеходные породы, в которых порфиробласти сложены авгитом и роговой обманкой. Пироксеновые разности представляют темно-зеленовато-серые породы с крупными (до 1—2 см) порфиробластами андезина № 45—48 и авгита с мелкопризматической зернистостью основной массой, при увеличении количества кварца структура ее переходит в гипидоморфнозернистую, благодаря резкому ксеноморфизму последнего. Цементирующая масса состоит из андезина № 36—39 (до 65%), единичных зерен ортоклаза, зеленой роговой обманки (до 20%), редкого авгита и ксеноморфного кварца (3—7%). Аксессорные представлены апатитом, сференом, цирконом, магнетитом и пиритом. Из вторичных минералов присутствуют зеленая роговая обманка, обрастающая и замещающая авгит, актинолит, пренит, биотит и хлорит, замещающие первичную роговую обманку, серицит, эпидот, цоизит, разъедающие пла-тиоклазы.

Роговообманковые диоритовые порфиры-II по внешнему облику не отличаются от пироксеновых. Порфиробласти размером до 1,5 см представлены андезином № 46—47 и бурой роговой обманкой. Последняя нередко зональна, причем зональность наиболее отчетлива в краевых частях зерен. Мезостазис состоит из призматически таблитчатого андезина № 36—38 и роговой обманки с размером зерен 0,08—0,2 мм. Аксессорные — апатит, сферен, магнетит, пирит. Вто-

Таблица 1

Оптические свойства породообразующих минералов дайковых пород рудного поля Коммунар

Интузив- ный комп- лекс	Фаза	Название минералов	Ng	Np	Ng—Np	2 V	c Ng	Прочие свойства
			2	3	4	5	6	
I	1	Авгит из диоритовых порфири- тov-I Тремолит-актинолит из диорито- вых порфиритов-I Зеленая роговая обманка из мел- козернистых диоритов-I				+50°	45°	Плеохроизм: Ng — бледно-зеле- ватый, Np — бесцветный
						-86°	17-18	
						-78	-21	
II	Авгит из пироксеновых диорито- вых порфиритов Зеленая роговая обманка из пи- роксеновых диоритовых порфиритов Актинолит из пироксеновых дио- ритовых порфиритов Бурая роговая обманка из рого- вобманковых диоритовых порфи- ритов Актинолит из рогообманковых диоритовых порфиритов Зеленая роговая обманка из квар- цевых монцонитов Волокнистый актинолит из квар- цевых монцонитов	1,716 1,662 1,662 1,682 1,682	1,690 0,026 0,021 1,663 1,663	0,026 -72 -84 -81 -76 -81	44-52° -72 -84 -81 -83 -76 -81	40-47 18 18 15 15 17 13	Плеохроизм: Ng — желтовато-зе- леноватый, Np — бледно-зелено- ватый Плеохроизм Ng — темно-бурая, Np — красновато-бурая, Np — свет- ло-желтая Плеохроизм: Ng — бледно-зеле- ватый, Np — бесцветный	
III	Бурая роговая обманка из мелко- зернистых диоритов-II Зеленая роговая обманка из мел- козернистых диоритов-II	1,682 1,682	1,661 0,021	0,021 -74	-64 -74	21 16	21 16	

Конструкция прибора Ромштедера (Cm^3-O)

Продолжение таблицы 1

1	2	3	4	5	6	7	8	9
I	Биотит из мелкозернистых диоритов-II		1,706	1,675	0,055	-0°		
	Агвиг из мелкозернистых диоритов-II			0,031	+54—60°	39—46°		
	Вторичная роговая обманка (зеленая) из мелкозернистых диоритов-II		1,665	1,658	-6°	18—20°		
	Бурая роговая обманка из спессартитов		1,680	1,660	0,020	-73	16—22	
	Агвиг из спессартитов				+62	43		
	Биотит из керсантитов		1,642	1,587	0,053	-0		
	Бурая роговая обманка из сиенит-порфиров				-72	15—16		
	Зеленая роговая обманка из сиенит-порфиров				-84	18—20		
	Агвиг из лабрадоровых порфиритов				+60—66	38—40		
	Титан-агвиг из лабрадоровых порфиритов				+52	40—43		
II	Бурая роговая обманка из лабрадоровых порфиритов		1680	1,662			-10	16
	Зеленая роговая обманка из лабрадоровых порфиритов						-80	22
	Актинолит из лабрадоровых порфиритов						-14	12

Конструкция прибора Рамановского (cm³—O)

Продолжение таблицы 1

1	2	3	4	5	6	7	8	9
III	Зеленая роговая обманка из диорит-пегматитов	1,667	1,644	0,023	-63-70°	20°	Плеохроизм: Nm — зеленая, Np — бледно-зеленая	
	Мусковит из диорит-пегматитов	1,593	1,553	0,040	-37-40			
	Биотит из гранит-аплитов	1,631	1,578	0,053	-0			
	Зеленая роговая обманка из диорит-аплитов			0,027	-70	18	Плеохроизм: Ng — зеленая, Nm — бледно-желто-зеленая, Np — бес- цветная или светло-зеленоватая	
	Авгит из диорит-аплитов				+49	47		
	Титан-авгит из оливиновых габбро- и габбро-порфиритов	1,714	1,686	0,038	+52	40-43	Плеохроизм: Nm — зеленая, Np — бледно-зеленая	
	Оlivин из габбро- и габбро-порфиритов	1,699	1,673	0,038	-86	0		
	Диопсид из субшелочных диабазовых порфиритов	1,728	1,693	0,035	+69-60	39-40		
	Авгит из субшелочных диабазовых порфиритов				+62-65	39-40		

La₆₆Po-сингенито-
Bpн (D²)

Kунгера cепна рапаквио-
птироборо кумиремка
(Cm³-O)

ричные минералы представлены бесцветным и зеленым амфиболом актинолитового ряда, замещающим бурую роговую обманку. Зеленый амфибол в свою очередь замещается хлоритом и эпидотом. По плагиоклазам развивается серицит и пеллит.

Лабрадоровые порфириты по внешнему облику сходны с диоритовыми порфиритами и отличаются от последних только плотной афанитовой основной массой темного цвета с характерным раковистым изломом. В шлифах выявляется порфировая структура с гипидиоморфным или пилотакситовым мезостазисом, который характеризуется субпараллельным расположением микролитов плагиоклазов, скементированных раскристаллизованным стеклом. Порфировые выделения в количестве 12—13% представлены лабрадором № 55—59 размером до 1 см, бесцветным авгитом, диопсидом и иногда темно-бурым титан-авгитом. Пироксены обычно более идиоморфны, нежели плагиоклазы, и нередко встречаются в виде пойкилитовых вростков в полевых шпатах. Основная масса сложена плагиоклазом № 46—53 в виде микролитов и тонких табличек, авгитом, диопсидом, бурой и зеленой роговыми обманками. Кварц присутствует чаще в более крупнозернистых породах и всегда резко ксеноморфен. Обычны участки слабораскристаллизованного стекла с радиально-лучистым погасанием. Из акессорных развиты апатит, сфен, магнетит. Среди вторичных минералов преобладает зеленая роговая обманка, замещающая пироксены, а по первичному амфиболу развивается бледно-зеленый актинолит; стекло замещается хлоритом, а плагиоклазы часто полностью серицитизированы и соссюритизированы.

Мелкозернистые диориты-II — плотные мелкозернистые породы темно-серого цвета. Под микроскопом обнаруживается гипидиоморфнозернистая структура, характеризующаяся ксеноморфизмом кварца и идиоморфизмом плагиоклазов к темноцветным. Плагиоклаз № 39—42 (60—65%) часто деформирован. Кварц в виде ксеноморфных зерен встречается в количестве от 1—3 до 5—7% и единичные зерна ортоклаза. Бурая, и зеленая роговые обманки — в виде призматически-шестоватых зерен, биотит — в форме мелких чешуек. Авгит присутствует как второстепенный минерал в более основных бескварцевых разностях. Из акессорных установлены апатит, сфен, циркон и магнетит. Вторичные минералы представлены актинолитом, биотитом и хлоритом, замещающими первичные амфиболовы. Пироксен замещается зеленой роговой обманкой, биотитом и магнетитом, причем биотит и вторичный амфибол развиваются вдоль спайности, а магнетит — по трещинкам. По плагиоклазам развивается серицит и спутанно-волокнистый актинолит. Часто встречается эпидот и кальцит, корродирующие все пордообразующие минералы.

Лампрофиры в пределах рудного поля представлены спессартитами, керсантиитами, вогезитами и одинитами. Последние слагают маломощные жилы или краевые части сложнопостроенных спессартитовых дайковых тел.

Спессартиты — плотные темно-серые мелкозернистые породы со слабо проявленной порфировидной структурой и сложены плагиоклазами, амфиболами и пироксенами. Порфиробласты (5—12%) размером в 2—8 мм представлены буровато-зеленой роговой обманкой шестоватого облика, нередко сдвойникованной по (100). Структура основной массы гипидиоморфнозернистая и характеризуется большим идиоморфизмом темноцветных минералов по отношению к плагиоклазам. Плагиоклаз № 30—37 составляет до 53—57%, размер зерен 0,5—0,6 мм и мельче. Роговая обманка мезостазиса аналогична таковой порфиробластов, но размер ее зерен 0,2—0,3 мм и составляет до 30%.

Авгит (до 3—5%) бесцветен или бледно-буроватый, иногда сдвойникован по (100).

Керсантиты — плотные средне- и крупнозернистые породы темно-серого цвета, состоящие на 45—50% из биотита, 30—40% андезина № 28—32 и около 10% ортоклаза. Структура порфировидная, порфиробласты представлены чешуями биотита размером 0,5—0,9 см.

Монцониты — порфировидные породы со светло-серой мелкозернистой (0,05—0,15 мм) основной массой. От диоритовых порфириев макроскопически отличаются розовато-белесым обликом. Порфиробласты в 5—8 мм представлены табличками плагиоклаза № 40—45 (10—15%). Структура основной массы монцонитовая и характеризуется большим идиоморфизмом плагиоклаза по отношению к ортоклазу, а иногда плагиоклаз имеет характер пойкилитовых вростков в ортоклазе. Минералогический состав базиса представлен: андезином № 35—40 (40—45%), ортоклазом (30—35%), зеленой роговой обманкой (20%). Амфибол обычно сдвойникован по (010), и двойники нередко деформированы. Аксессорные — циркон и пирит. Вторичные минералы — серицит, цоизит, разъедающие плагиоклазы, и бледно-зеленый волокнистый актинолит, замещающий роговую обманку. Актинолит в виде тонко-игольчатых агрегатов пронизывает также полевые шпаты, образуя в них беспорядочную решетку.

Кварцевые порфирры — светло-серые мелкозернистые породы порфировой структуры. Порфиробласты (до 7—10%) состоят из кварца неправильной, реже хорошо ограниченной формы зерен размером 2—3 мм. Часто кварц оказывается трещиноватым, причем трещинки заполнены минералом мезостазиса. Значительно реже встречаются зерна ортоклаза округло-изометричной формы. В единичных зернах обнаруживаются таблитчатые выделения андезина № 30—33. Под микроскопом выявляется микрогранулитовая структура основной массы, которая характеризуется идиоморфизмом кварца к ортоклазу и плагиоклазу № 25—28. Количество плагиоклаза примерно равно ортоклазу и в сумме составляет до 65% от общего минералогического состава базиса породы. Иногда появляются шестоватые и призматические кристаллы зеленой роговой обманки. Аксессорные — апатит, сфен, циркон и магнетит, причем апатит нередко дает пойкилитовые вростки в сфене. Вторичные минералы — серицит, карбонат, эпидот, развивающиеся по плагиоклазам, и tremolit, реже хлорит, корродирующие роговую обманку.

Сиенит-порфирры — мелкозернистые розовато-серые породы, состоящие из ортоклаза, плагиоклаза, кварца, роговой обманки и биотита. В шлифах выявляется порфировая структура с гипидиоморфно-зернистой основной массой. В бескварцевых разновидностях полевые шпаты и темноцветные компоненты одинаково идиоморфны. Порфиробласты представлены ортоклазом и плагиоклазом № 17—18 размером в 2—3 мм. Мезостазис состоит из ортоклаза (65—70%), бурой роговой обманки (10—20%) и ксеноморфного кварца. В некоторых разностях место роговой обманки занимает биотит. Из аксессорных установлены апатит, сфен, циркон, монацит и магнетит. Вторичные минералы представлены зеленой роговой обманкой, разъедающей бурую, при этом возникает мелкозернистый агрегат сфена. Зеленая роговая обманка и биотит замещаются пенином. Биотит часто содержит сагенитовую решетку рутила. По плагиоклазам развивается серицит и кальцит.

Диорит-пегматиты обычно зонального сложения, краевые части жил сложены плагиоклазом № 45—48 (до 50%), зеленой роговой обманкой (до 30%) и кварцем (до 5%). К центру жил количество амфиболя резко сокращается, вплоть до полного его исчезновения. Одно-

время появляются чешуйки мусковита, и плагиоклаз становится более кислым: № 35—36, при увеличении зернистости к центру жил вплоть до образования друзовидных текстур. Здесь кристаллы плагиоклаза № 30—32 (80—85%), кварца (5—7±), крупночешуйчатый мусковит достигают 4—5 см. Обычно контакты пегматоидных тел четкие и прямолинейные, но иногда пегматит постепенно переходит через крупнозернистый пегматоидный диорит в обычный среднезернистый диорит.

Гранит-пегматиты в отличие от диорит-пегматитов состоят из ортоклаза, кварца и мусковита и не содержат темноцветных компонентов и плагиоклаза.

Гранит-аплиты — светло-серые мелко- и среднезернистые породы, обнаруживающие под микроскопом порфировидную структуру обманкой. В шлифах обнаруживается аplitовая, гломеропорфировая и микропегматитовая структура. Гломеропорфировая структура характеризуется порфировыми выделениями андезина № 31—33 и ортоклаза, с кварц-полевошпатовым базисом гипидиоморфнозернистой структуры, отличающейся ксеноморфизмом кварца по отношению к олигоклазу № 16—17. Микропегматитовая структура отличается червеобразными вrostками кварца в полевых шпатах. Ортоклаз и микроклин (до 30%) часто образуют перититовые срастания с олигоклазом № 15—17 и 20—25, а в порфиробластах даже № 31—32. Кварц (до 30%) часто дает микропегматитовые срастания с полевыми шпатами или в виде оторочек обрастает последние. Биотит бурого или зеленовато-бурого цвета иногда содержит включения циркона и апатита. Зеленая роговая обманка редка и обычно замещена биотитом. Аксессорные минералы представлены апатитом, сференом, цирконом и магнетитом.

Плагиогранит-аплиты — лейкократовые мелкозернистые породы, обнаруживающие под микроскопом порфировидную структуру с аPLITОВОЙ основной массой. Порфиробласты сложены олигоклазом № 13—14 (5—7%) в 2—3 мм и редко микроклином. Основная масса породы состоит из олигоклаза № 10—12 (75—80%) размером 0,1—0,2 мм и кварца (до 18%). Из акссесорных минералов обнаружены апатит, сферен и магнетит.

Диорит-аплиты — лейкократовые мелкозернистые породы, сложенные полевыми шпатами, кварцем и роговой обманкой. Структура призматическая зернистая с ровным идиоморфизмом плагиоклазов и амфиболов. Плагиоклаз № 32—35 (до 80%) в виде призматических зерен. Роговая обманка призматического облика (до 10—15%). Иногда с амфиболом обнаруживается авгит. Кварц обычно ксеноморфен. Аксессорные: апатит, сферен и магнетит. Из вторичных минералов установлены серицит и эпидот, развивающиеся по плагиоклазам, актинолит, хлорит и биотит — по роговой обманке.

Сиенит-аплиты характеризуются аPLITОВОЙ структурой и почтительным отсутствием темноцветных минералов. Состав породы: ортоклаз (до 40%), олигоклаз № 18 (45—50%), единичные зерна биотита, зеленой роговой обманки, кварца, апатита, сферена, циркона, монацитита и магнетита.

Оливиновые габбропорфириты очень свежие плотные породы серовато-черного цвета. В шлифах устанавливается порфировидная структура. Порфиробласты (до 50—70%) сложены короткопризматическим авгитом размером 0,3—2,5 см. Он нередко содержит мелкие округло-изометричные размером 0,2—1 мм вrostки оливина или образует с ним отдельные кучные обособления. Количество оливина в породе до 5—13%. Плагиоклаз порфировых выделений размером 0,3—1,9 см представлен лабрадором № 54—56, часто зонален и состав-

ляет до 60—70%. Базис породы также сложен лабрадором № 50—53, авгитом, реже оливином типично габбровой структуры и размером зерен 0,05—0,15 мм. Из акцессорных установлены сфен, магнетит и титаномагнетит. Вторичные изменения проявились исключительно слабо и выражены в обрастании пироксена биотитом и одновременно выделением рудной сырьи и серпентинизацией оливина. Нередко по краям оливиновых зерен или по трещинкам в нем развивается розовато-желтый боулингит. Плагиоклаз порфиробласт и основной массы имеет совершенно свежий облик, и в нем обнаруживаются лишь единичные чешуйки серицита и мельчайшие зерна эпидота.

Субщелочные диабазовые порфириты характеризуются пилотакситовой структурой базиса, обусловленной субпараллельным расположением микролитов плагиоклаза, сцепментированного слабораскристаллизованным стеклом. Порфиробласты представлены лабрадором № 59—65, реже диопсидом и авгитом. В отличие от пород даек второй группы в субщелочных диабазовых порфиритах совершенно отсутствуют такие гистерогенные минералы как соссюрит, хлорит и амфиболы. Отличительной особенностью состава этих пород является повышенное содержание ортоклаза и редкого полупрозрачного и изотропного анальцима.

Некоторые черты петрохимии и геохимические особенности пород дайкового комплекса

Как уже отмечалось, по структурно-геологическим условиям залегания и петрографическим особенностям породы Солгонского гранодиоритового массива и большинства даек района укладываются в один магматический комплекс салаирского возраста. Этот вывод подтверждается и петрохимическими особенностями названных пород. На основании многочисленных анализов пород (табл. 2) составлена диаграмма химических составов интрузивных пород района (рис. 1), на которой нанесены составы наиболее близких пород улень-туимского и мартайгинского гранитоидных комплексов [3, 13], которая отражает следующие основные особенности пород гранодиоритового комплекса.

1. Гранодиоритовый комплекс пород по своему химизму образует закономерно вытянутый рой, соответствующий типичным сериям известково-щелочных ассоциаций (рис. 1, 2).

2. Вариационная линия в щелочном поле несколько удалается от линии SB и по мере перехода от основных разностей пород к кислым постепенно отклоняется вправо, что указывает на увеличение суммы щелочей. Количество калия закономерно увеличивается в этом же направлении, о чем свидетельствует выполнение векторов на плоскости CSB диаграммы.

3. Закономерное удаление, а затем приближение вариационной линии от линии SB в плоскости CSB говорит о бедности пород основного и кислого состава полевошпатовой известью и о сравнительном обогащении ею пород среднего состава.

4. По сравнению с мартайгинским интрузивным комплексом породы Солгонского интрузива характеризуются несколько повышенной щелочностью, причем как в породах улень-туимского гранитоидного комплекса наблюдается увеличение содержания щелочных алюмосиликатов в направлении от фазы к фазе при снижении содержания аортитовой молекулы. Одновременно увеличивается отношение $K_2O : Na_2O$, т. е. несколько повышается содержание в породах калиевых алюмосиликатов по сравнению с натровыми.

При рассмотрении химических составов дайковых пород обращает

на себя внимание то обстоятельство, что фигуративные точки двух первых групп дайковых пород располагаются в поле фигуративных точек пород Солгонского массива. Это, с одной стороны, подчеркивает их генетическую связь, а с другой — закономерное изменение химического состава пород. Выделенные отдельные генетические группы даек характеризуются следующими петрохимическими особенностями.

1. Диоритовые порфиры-І и мелкозернистые диориты-І первой группы (№ 27, 29) характеризуются повышенным содержанием кремнезема ($S = 62,5—63,3$), повышенным содержанием фемических компонентов ($v = 22,1$) и сравнительной недосыщенностью щелочами при одновременном избытке извести.

2. Химический состав наиболее кислых разностей даек второй группы (гранит-аплитов, № 20, 21) характеризуется очень высоким содержанием кремнезема. Для них характерно несколько повышенное содержание щелочей и незначительное количество полевошпатовой извести. В целом химсостав дайковых пород второй возрастной группы колеблется в широких пределах (рис. 1): содержание кремнезема закономерно снижается от монцонитов (№ 28) к диоритовым порфирам. В монцоните наблюдается резкая пересыщенность глиноземом, что находит свое минералогическое выражение в большом содержании ортоклаза. Содержание свободной извести колеблется в широких пределах, и вариационная линия диоритовых порфиритов в плоскости CSB имеет форму плавной синусоиды. Субщелочной диабазовый порфирит третьей возрастной группы даек характеризуется очень низким содержанием кремнезема при повышенном значении фемических компонентов. Отмечается повышенное содержание щелочей при одновременном уменьшении полевошпатовой извести (рис. 2). Это сближает их с тешенитами из девонских впадин Минусинского прогиба, описанных И. В. Лучицким [11]. Во всяком случае как и для девонских даек основного состава, так и для диабазовых порфиритов третьей группы характерен субщелочный уклон, что, возможно, обусловлено щелочным характером автотоматоза.

С целью выяснения геохимической преемственности между дайками и породами гранодиоритового массива нами использовались результаты полуколичественных и количественных спектральных анализов проб из пород и акцессорного магнетита, выполненных в лаборатории Томского политехнического института.

В породах Солгонского ингредиента установлены следующие элементы-примеси: Mn, Ti, Ni, Co, V, Cr, Zr, Zn, Pb, Sn, Mo, Cu, Ga в количестве от тысячных до сотых долей процента (табл. 3). Наиболее распространенным элементом является Ti, который присутствует в количестве от 0,03 до 0,3%. Главное количество данного элемента входит в состав авгита и амфиболов, являющихся основными породообразующими минералами, и сфена, весьма распространенного акцессорного минерала. Очень характерно поведение Cu, V, Cr и Zr, причем для роговообманковых лейкодиоритов и гранодиоритов второй фазы внедрения характерно повышенное содержание Cu и V до 0,03% и Zr до 0,01%, а для авгитовых меладиоритов — выдержанное повышенное содержание Cr до 0,01%.

Наиболее существенными элементами-примесями пород дайковой серии являются Ti, Cu, Sn и Mo в количестве от тысячных до 0,1—0,3%. В породах первой генетической группы даек присутствуют элементы-примеси: Mn, Ti, Ni, Co, V, Cr, Cu, Zn. По отсутствию Zr, Pb, Mo, Sn и повышенному содержанию Cr (до 0,01—0,08%) обнаруживается сходство ранней фазы внедрения гранодиоритовой интрузии.

Дайки второй возрастной группы содержат элементы-примеси: Mn,

Таблица 2

Химический состав интрузивных пород Коммунаровского рудного поля

№ п.п.	SiO ₂	TiO ₂	Al ₂ O ₃	Fe ₂ O ₃	FeO	MnO	MgO	CaO	Na ₂ O	K ₂ O	P ₂ O ₅	п.п.	Σ
1	48,60	0,80	18,37	1,24	11,28	0,19	4,39	7,40	3,20	1,16	0,067	3,05	99,75
2	54,38	0,99	15,44	1,12	11,2	0,15	3,23	7,98	3,21	1,50	0,17	1,78	100,97
3	53,91	0,86	17,15	1,45	9,45	0,11	2,83	0,90	2,30	1,90	0,14	1,71	100,71
4	44,06	4,08	11,06	3,08	10,45	0,20	10,60	10,04	2,35	1,03	0,72	2,71	100,38
5	52,68	0,87	14,60	1,47	12,18	0,21	4,20	8,38	2,77	0,54	0,15	1,99	100,04
6	53,00	0,78	16,37	1,90	9,90	0,17	3,70	6,34	3,51	1,70	0,12	2,56	90,95
7	51,88	0,60	17,38	2,05	8,37	0,16	3,88	8,20	3,63	1,17	0,11	2,13	99,56
8	53,44	0,75	15,72	1,17	12,0	0,20	6,06	4,46	3,60	0,95	0,15	1,55	100,05
9	54,58	1,08	16,08	1,76	6,97	0,15	4,70	6,94	3,79	1,90	0,34	1,97	100,26
10	55,28	0,70	16,22	1,09	6,54	0,11	5,60	8,05	4,10	0,67	0,21	1,38	100,18
11	60,66	0,89	17,51	2,06	4,00	0,09	1,12	2,60	4,94	4,90	0,20	1,02	99,99
12	51,64	1,74	19,24	3,04	6,25	0,11	2,79	6,90	4,51	2,00	0,54	1,59	100,35
13	56,48	1,14	18,41	1,68	4,96	0,13	2,89	6,57	4,10	2,30	0,40	1,32	100,38
14	47,16	2,00	19,40	1,85	7,47	0,14	4,64	10,04	3,50	1,62	0,67	2,46	100,95
15	50,40	1,44	15,17	2,18	8,37	0,15	6,15	8,35	2,97	2,50	0,46	2,47	100,61
16	50,92	1,02	12,8	1,25	7,47	0,20	10,25	10,20	2,40	1,18	0,28	1,53	99,50
17	53,84	1,28	16,28	1,89	7,11	0,15	4,37	7,52	3,70	2,60	0,37	1,80	100,91
18	49,62	1,01	19,52	1,02	8,03	0,16	4,20	9,48	3,70	0,66	0,41	1,90	99,71
19	56,36	1,70	16,76	2,88	6,00	0,09	2,50	3,49	3,80	4,75	0,52	1,34	100,19
20	75,08	0,11	13,19	0,06	1,47	0,01	0,36	1,30	3,06	4,93	0,058	0,56	100,19
21	67,06	0,45	15,17	0,18	3,52	0,02	0,27	1,15	4,71	5,00	0,076	2,27	99,88
22	61,36	0,48	15,72	0,62	4,17	0,08	1,44	4,29	3,60	2,40	0,14	6,58	100,88
23	54,78	0,98	18,05	0,70	8,62	0,12	2,64	6,28	4,06	2,28	0,37	1,46	100,34
24	55,22	1,18	14,93	1,62	7,54	0,15	4,80	7,05	3,42	2,59	0,52	1,26	100,28
25	50,44	1,03	16,40	1,53	8,84	0,18	6,18	10,07	3,20	0,50	0,43	1,38	100,18
26	55,87	0,91	19,21	0,55	6,79	0,08	1,94	5,60	4,40	2,65	0,30	1,51	99,81
27	53,68	1,12	15,40	1,22	7,54	0,12	6,42	6,58	3,35	2,0	0,30	1,94	99,67
28	58,20	0,97	19,25	1,63	4,74	0,03	1,65	4,31	4,30	3,30	0,25	1,65	100,28
29	52,42	0,88	16,13	2,63	6,00	0,11	6,05	7,15	3,45	0,46	0,19	4,99	100,46
30	59,00	0,38	19,95	0,52	4,71	0,05	1,32	3,74	6,50	0,44	0,31	2,49	99,41
31	59,9	0,52	16,94	0,59	4,24	0,08	2,33	4,53	3,00	1,84	0,23	5,50	100,76
32	48,16	1,26	15,41	3,17	6,10	0,15	6,64	8,16	3,65	2,95	0,44	4,45	100,54
33	65,04	0,52	15,47	1,85	3,24	0,03	0,44	1,89	4,78	4,80	0,95	2,08	100,24
34	65,32	0,47	16,04	1,40	3,06	0,06	0,83	2,64	3,35	3,00	0,16	3,90	100,23
35	60,80	0,96	17,46	1,93	3,66	0,09	3,02	2,95	4,20	4,90	0,18	1,04	101,19
36	60,86	0,53	16,04	0,49	4,49	0,10	1,82	4,59	3,92	2,14	0,18	5,20	100,36

1, 2, 3, 4, 5, 6, 7, 8, 9 — порфировидные, мелкозернистые уралитизированные диориты и габбро-диориты буйского интрузивного комплекса; солгонский интрузив: 9 и 10 — авгитовый диорит; 11 — гранодиориты, 12 — кварцевые диориты; 13, 14, 15, 16, 17, 19 — диориты и меладиориты; 18 — ксенолит диорита (тоналита) в дайке роговообманкового диоритового порфирита (Подлунный голец); жильная серия интрузивных пород: 20, 21 — гранит-аплит; 21, 23, 24, 25, 26, 27 — диоритовый порфирит; 28 — сиенито-диоритовый порфирит (монцонит); 29 — мелкозернистый диорит; 30, 31, 22 — березитизированный диорит; 32 — субзеленой диабазовый порфирит (тешенит?); 33 — сиенит; 34 — сиенит-порфир; 35 — плагиосиенит; 36 — кварцевый порфир; мартайгинский интрузивный комплекс (по Т. М. Дембо, 1956); 37 — габбро-диорит; 38, 39 — кварцевый диорит; 40 — кварцевый монцонит; 41, 42, 43 — гранодиорит; химические анализы выполнены в центральной лаборатории КГУ.

Ульян-туимский интрузивный комплекс [11]: 44 — биотит-роговообманковый гранит Тыгертышского массива; 45 — биотитовый гранит Аскисского массива; 48 — габбро-диорит Тыгертышского массива; 49 — диорит Уйбатского массива; 50 — гранодиорит Ульянского массива; 46 — граносиенит Тыгертышского массива; 47 — диорит Ульянского массива.

Средний химический состав пород по Р. Дели: 51 — гранитовый аплит; 52 — кварцевый монцонит; 53 — кварцевый диорит; 54 — сиенит; 55 — монцонит; 56 — габбро; 57 — спессартит; 58 — тешенит.

Таблица 3
Элементы примеси в интрузивных природах Коммунаровского рудного поля¹

Название пород	Число анализов	Mn	Ti	Ni	Co	V	Cr	Zr	Pb	Cu	Zn	Mo	Sn
Меладиориты-I фазы	18	0,03	0,01	0,003	0,001	0,01	0,02	H/O	0,001	0,003	0,004	H/O	H/O
Солонской интрузии.													
Кварцевые диориты и гранодиориты	12	0,03	0,1	0,005	0,001	0,01	0,001	H/O	0,001	0,003	0,003	СЛ	H/O
II фазы.													
Мелкозернистые граниты и гранит-аплиты III фазы	4	0,01	0,01	СЛ	СЛ	0,003	0,001	H/O	0,001	0,001	СЛ	СЛ	H/O
Дайки:													
Диорит-порфириты-I	2	0,03	0,01	0,005	0,001	0,005	0,3	СЛ	H/O	0,003	СЛ	H/O	H/O
Диорит порфириты-II	13	0,01	0,03	0,01	СЛ	0,006	0,003	СЛ	0,01	0,001	0,003	H/O	H/O
Мелкозернистые диориты.	6	0,03	0,01	СЛ	СЛ	0,006	0,001	СЛ	H/O	0,011	H/O	H/O	СЛ
Лампрофиры	5	0,03	0,01	0,003	0,001	0,03	0,006	H/O	0,001	0,006	H/O	H/O	СЛ
Кварцевые порфириты	3	0,02	0,01	СЛ	СЛ	СЛ	СЛ	СЛ	0,001	0,001	СЛ	СЛ	СЛ
Сиенит-порфириты и монцониты	8	0,01	0,01	СЛ	СЛ	СЛ	СЛ	СЛ	0,01	0,001	СЛ	H/O	H/O
Березиты	6	0,03	0,06	0,001	0,001	0,006	СЛ	СЛ	0,03	0,001	0,005	0,001	СЛ
Лабрадоровые порфириты.	10	0,03	0,03	0,001	0,001	0,01	0,003	H/O	СЛ	0,001	0,003	H/O	H/O
Аплиты и пегматиты.	12	0,006	0,01	СЛ	СЛ	0,001	СЛ	СЛ	0,01	0,001	0,001	0,001	СЛ
Габбро-порфириты оливиновые.	8	0,1	0,06	0,1	0,005	0,01	0,005	H/O	H/O	0,01	0,03	H/O	H/O
Субшелочные диабазовые порфириты	3	0,1	0,2	0,003	0,001	0,1	0,001	СЛ	СЛ	0,001	0,003	H/O	H/O
Аксессорный магнетит из:													
Меладиориты I фазы	3	0,1	0,01	0,03	0,001	0,01	0,3	H/O	0,001	0,03	0,01	СЛ	H/O
Гранодиориты II фазы	6	0,06	0,01	0,006	0,001	0,006	0,036	H/O	0,001	0,1	0,03	0,0001	0,001
Оlivипольевые габбро	3	0,1	0,01	0,1	0,003	0,01	0,03	H/O	0,01	0,03	H/O	H/O	H/O
Диорит-порфириты-II	3	0,1	0,01	0,01	0,001	0,006	0,01	СЛ	СЛ	0,1	0,1	0,001	СЛ
Мелкозернистые диориты-II	3	0,1	0,006	0,01	0,001	0,006	0,006	H/O	СЛ	0,01	0,006	0,001	СЛ
Лампрофиры	4	0,1	0,006	0,01	0,001	0,006	0,01	H/O	СЛ	0,005	0,006	H/O	H/O

Ti, Ni, Co, V, Cr, Zr, Pb, Zn, Cu, Mo, Sn от тысячных до сотых долей процента. Весьма характерное повышенное содержание Cu, Zn, Zr от 0,01 до 0,03%, пониженное содержание хрома по сравнению с дайками первой возрастной группы и увеличение ванадия до 0,08%, а также появление Sn и Mo. По этим признакам обнаруживается сходство в поведении элементов-примесей в дайках, лейкодиоритах и гранодиоритах второй фазы Солгонской интрузии.

В отличие от дайковых пород первой и второй групп в дайках третьей группы кроме Mn, Ni, Co, Cr, Cu и Zn постоянно отмечается повышенное содержание Ti и V в количестве от 0,1 до 0,2% и почти полное отсутствие Zr, Pb, Sn и Mo, весьма характерных для даек второй группы (табл. 3).

Таким образом, детальное изучение минерало-петрографического состава даек и интрузивных пород гранодиоритового массива, а также выяснение их петрохимических и геохимических особенностей дает основание утверждать, что указанные породы имеют много общих минерало-химико-геохимических признаков, которые с достаточной степенью достоверности позволяют говорить об их генетической связи. Согласно классификации Х. М. Абдуллаева [1] их следует отнести к группе интрамагматических даек. При этом дайки первой возрастной группы, вероятно, относятся к сининтрузивным, а второй — постинтрузивным типам. Вместе с тем установление генетического родства этих образований позволяет ближе подойти к выяснению генетической связи золотого оруденения с гранодиоритовой интрузией, если учесть, что дайки второй группы нередко несут золотую минерализацию и оказываются парагенетически связанными с оруденением, что более подробно рассмотрено в отдельном сообщении [8].

ЛИТЕРАТУРА

1. Х. М. Абдуллаев. Дайки и оруденение. Госгеолиздат, 1957.
2. Геология СССР, т. XV, ч. 1, Госгеолтехиздат, 1961.
3. Т. М. Дембю. Явления анатексиса, гибридизма и ассиляции в каледонской гранодиоритовой интрузии северной части Кузнецкого Алатау. Сов. геол., сб. 51, 1956.
4. А. Н. Заварецкий. Введение в петрохимию изверженных горных пород. Изд. АН СССР, 1950.
5. Т. Н. Иванова и др. Абсолютный возраст некоторых магматических и метаморфических пород Центральной части Алтае-Саянской области. В сб. Мат. по регион. геол. Алтас-Саянской обл. ВСЕГЕИ, Л., 1961.
6. Г. А. Иванкин и др. К стратиграфии древних толщ Восточного склона Кузнецкого Алатау. В сб. Материалы по минералогии, петрог. и пол. ископаемым Зап. Сибири и Краснояр. края, Изд. ТГУ, вып. 3, 1966.
7. А. Ф. Коробейников. Влияние трещиноватости на характер размещения дайковых и послемагматических образований в районе Коммунаровского золоторудного узла. Изв. Томск. полит. ин-та, т. 127, 1964.
8. А. Ф. Коробейников. Послемагматические изменения пород дайкового комплекса Коммунаровского золоторудного поля (Хакассия). Изв. Томск. политех. ин-та, т. 135, 1965.
9. Ю. А. Кузнецов. Главные типы магматических формаций. Изд. Недра, 1964.
10. И. В. Лучицкий. О значении щелочного модуля для систематики изверженных горных пород. Тр. Вост. Сиб. геол. ин-та, вып. 5, сер. геол., 1962.
11. И. В. Лучицкий. Вулканизм и тектоника девонских впадин Минусинского межгорного прогиба. Изд. АН СССР, 1960.
12. А. А. Мессаковский. Тектоническое развитие Минусинских впадин и их горного обрамления в докембрий и палеозое. Госгеолтехиздат, 1963.
13. Д. И. Мусатов. Интрузивный магматизм восточного склона Кузнецкого Алатау. Мат. по геол. и полезн. ископ. Красноярского края, вып. 1, 1961.
14. Н. А. Фогельман, А. Е. Шабаловский. Условия локализации штокверковых месторождений в пределах Коммунаровского рудного поля на восточном Склоне Кузнецкого Алатау. Тр. НИГРИЗолото, № 21, 1956.